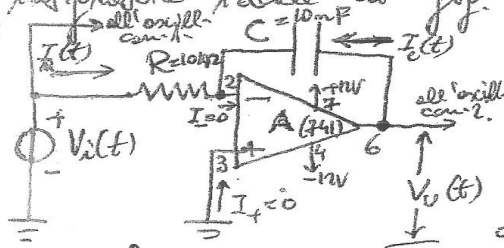


Analisi teorico-sperimentale del funzionamento dei circuiti integratore e derivatore nel dominio del tempo e della frequenza

Integratore invertente ideale

Consideriamo dal punto di vista teorico il circuito integratore ideale di fig. 1 (in configurazione invertente).



Il circuito integratore invertente (ideale) fornisce un segnale d'uscita $V_o(t)$ proporzionale all'integrale del segnale d'ingresso $V_i(t)$, cambiato di segno.

fig. 1

Per ottenere l'espressione di $V_o(t)$ corrispondente ad un qualsiasi segnale $V_i(t)$, consideriamo ideale l'amplificatore operazionale A ($A_d \rightarrow \infty$, $I_+ = I_- = 0$, $Z_i = \infty$, $Z_o = 0$).

Essendo per definizione A_d (guadagno differenziale di tensione e catena aperta) $= \frac{V_o}{V_+ - V_-}$, si ricava l'opposizione delle tensioni V_+ e V_- degli ingressi rispetto a massa e la presenza della massa virtuale all'ingresso invertente (-).

Avendo assunto il verso indicato in figura per la corrente $I_c(t)$, si ottiene $V_o(t)$ dalle definizioni di capacità e di intensità di corrente:

$$C = \frac{q(t)}{V_o(t)}, \quad V_o(t) = \frac{q(t)}{C}$$

$$I_c(t) = \frac{dq(t)}{dt}$$

$$dq(t) = I_c(t) dt$$

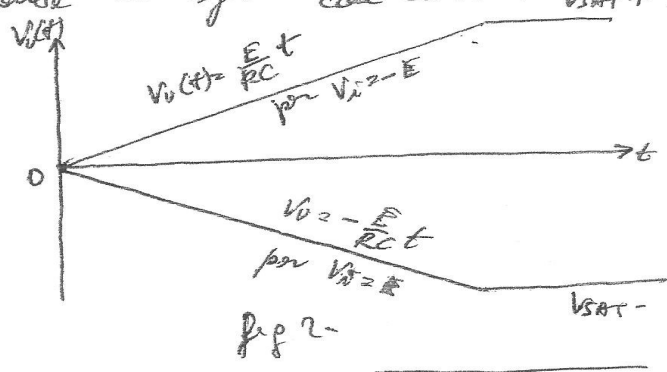
$$q(t) = \int I_c(t) dt$$

$$I_c(t) = -I_R(t) = -\frac{V_i(t)}{R} \quad (\text{essendo } I_+ = 0)$$

$$V_o(t) = \frac{1}{C} \int I_c(t) dt = -\frac{1}{RC} \int V_i(t) dt$$

Integratore di Miller

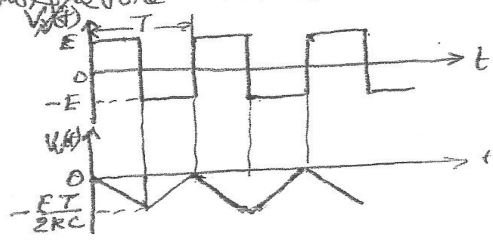
Applicando al circuito di fig. 1 un segnale V_i costante ($V_i = \pm E$), si ottiene in uscita una rampa con pendenza positiva se $V_i = -E$, una rampa con pendenza negativa se $V_i = E$. Il circuito generatore di rampa così ottenuto prende il nome di integratore di Miller e viene impiegato diffusamente nella strumentazione elettronica (oscilloscopi, generatori di funzioni) ogni qualvolta non è necessario ottenere segnali a dente di sega. Da notare che il condensatore C si carica con corrente costante V_{SAT}/RC .



Orvviaando il segnale $V_o(t)$ cresce (decresce) linearmente fin quando non si appropria al valore della tensione di saturazione dell'operazione (V_{SAT+} o V_{SAT-})

fig 2-

Risposta dell'integratore invertente all'onda quadra. Consideriamo inizialmente scarico ($V_o(0) = 0$) il condensatore C . In questo caso, applicando all'ingresso un'onda quadra con ampiezza E , si ottiene all'uscita dell'integratore un'onda triangolare.



Nel semiperiodo $0 - T/2$, l'integratore si comporta da integratore di

fig 3

Miller, avendo $V_i(t)$ costante e pari a E , V_o parte partendo generata una rampa con pendenza negativa $V_o(t)$

$$= -\frac{1}{RC} \int V_i(t) dt = -\frac{E}{RC} t \quad V_o\left(\frac{T}{2}\right) = -\frac{E}{RC} \frac{T}{2}$$

Durante il secondo semiperiodo ($\frac{T}{2} - T$), il condensatore C , inizialmente carico alla tensione $V_o\left(\frac{T}{2}\right)$, si scarica a corrente costante finché $V_o = 0$. Si ha in particolare, assumendo come origine dei tempi l'istante $t = \frac{T}{2}$:

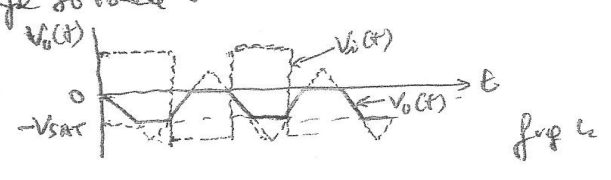
$$V_o(t) = V_o\left(\frac{T}{2}\right) - \frac{1}{RC} \int V_o(t) dt = V_o\left(\frac{T}{2}\right) + \frac{E}{RC} t = -\frac{E}{RC} \frac{T}{2} + \frac{E}{RC} t$$

\uparrow
 $V_i(t) = -E$

che per $t = \frac{T}{2}$ V_o si annulla.

Il fenomeno di carica e scarica procedono in modo analogo nei semiperiodi successivi, dando luogo ad un'onda triangolare con valore di picco $\frac{ET}{2RC}$.

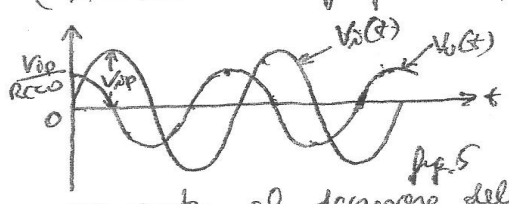
Si può notare che, al decrescere della frequenza dell'onda quadra, l'integratore tende a saturare; pertanto non si ottiene più un'onda triangolare, ma un'onda triangolare tronca, cioè un'onda trapezoidale.



Risposta dell'integratore invertente all'onda sinusoidale

Se $V_i(t) = V_{ip} \sin \omega t$ $V_o(t) = -\frac{1}{RC} \int V_i(t) dt =$
 $= -\frac{1}{RC} \int V_{ip} \sin \omega t dt = \frac{V_{ip}}{RC\omega} \cos \omega t$, si ottiene

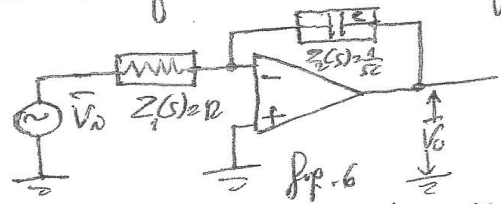
all'uscita una cosinusoidale con valore di picco $\frac{V_{ip}}{RC\omega} = \frac{V_{ip}}{2\pi f RC}$, crescente al decrescere della frequenza (inversamente proporzionale a f).



Risulta evidente a questo punto una caratteristica essenziale dell'integratore: la risposta

aumenta al decrescere della frequenza.

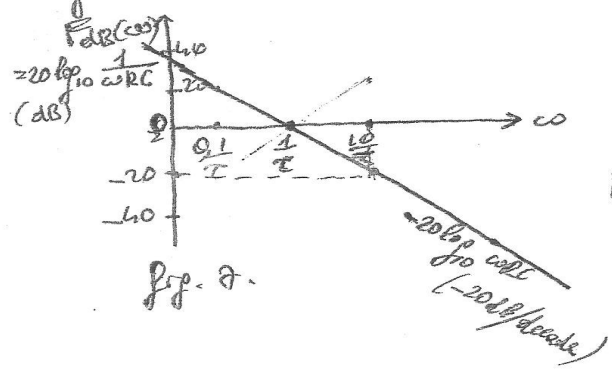
Infatti, se consideriamo l'integratore invertente come un particolare amplificatore invertente con impedenza d'ingresso $Z_1(s) = R$ ed impedenza di reazione $Z_2(s) = \frac{1}{sC}$, possiamo ottenere la funzione di trasferimento $F(s) = \frac{V_o}{V_i}$.



$$\frac{V_o}{V_i} = -\frac{Z_2(s)}{Z_1(s)} = -\frac{1}{sC} = -\frac{1}{RCs} = -\frac{1}{j\omega RC}$$

Si nota pertanto che il modulo $|F(j\omega)| = \frac{V_{opp}}{V_{iPP}}$ di $F(j\omega)$ è inversamente proporzionale a ω (e quindi a f); cioè la funzione di trasferimento diverge per $\omega \rightarrow 0$.

Diagramma di Bode del modulo di $F_R(\omega)$



$\tau = RC$

$F_{dB}(\omega) = -20 \log_{10} \omega RC$

per $\omega RC = 1$, cioè per $\omega = \frac{1}{RC}$, $F_{dB} = 0$;

per $\omega = \frac{10}{RC} = \frac{10}{T}$, $\omega RC = 10$

$F_{dB}(\omega) = -20 \log_{10} 10 = -20 \text{ dB}$

Integratore invertente reale

Per eliminare l'inconveniente della saturazione dell'integratore ideale (causa perdite) al decrescere delle frequenze del segnale d'ingresso, si modifica il circuito come mostra la fig. 8, collegando in parallelo al condensatore il resistore R_2 . Si ottiene così l'integratore invertente reale (con perdite), il quale è caratterizzato dal fatto che, al decrescere della frequenza, il guadagno limite per $f \rightarrow 0$ non diverge, ma assume il valore $-\frac{R_2}{R_1}$, caratteristico dell'amplificatore invertente. Infatti, a frequenze molto basse, quando la reattanza capacitiva $X_C = \frac{1}{\omega C}$ tende a diventare molto grande, interviene il resistore R_2 che bypassa il condensatore facendo in modo che il circuito si comporti praticamente con un amplificatore invertente ($R_2 // \frac{1}{\omega C}$, per $f \rightarrow 0$, $\propto R_2$).

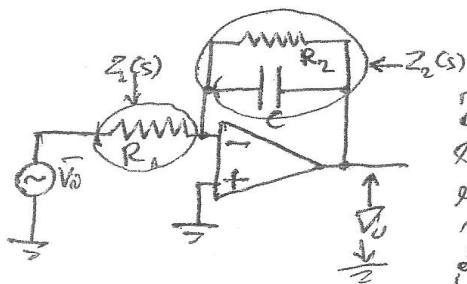


fig. 8
 Amplificatore invertente reale
 (con perdite)

Il calcolo della funzione di trasferimento del circuito evidenzia che l'amplificatore reale si comporta, nel dominio della frequenza, come un filtro attivo (con amplificazione) di tipo passa-basso di I ordine. Infatti si ha:

$$Z_1(s) = R_1 \quad Z_2(s) = R_2 \parallel \frac{1}{sC} = \frac{R_2 \cdot \frac{1}{sC}}{R_2 + \frac{1}{sC}} =$$

$$= \frac{\frac{R_2}{sC}}{R_2 sC + 1} \quad \left[\text{oppure: } Y_2(s) = \frac{1}{R_2} + sC = \frac{1 + sR_2C}{R_2} \right]$$

$$Z_2(s) = \frac{1}{Y_2(s)} = \frac{R_2}{1 + sR_2C}$$

Considerando al solito il circuito come un blocco amplificatore invertente con impedenza d'ingresso Z_1 ed impedenza di reazione Z_2 , si ha:

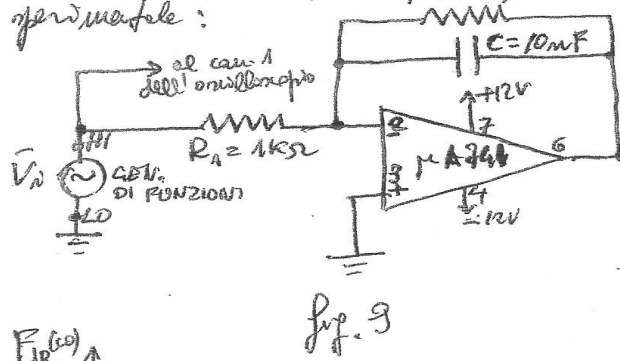
$$F(s) = \frac{V_0}{V_i} = - \frac{Z_2(s)}{Z_1(s)} = - \frac{R_2}{R_1} \cdot \frac{1}{R_2 sC + 1}$$

Si nota che per $s \rightarrow 0$ ($f \rightarrow 0$), $F(s)$

tende a $-\frac{R_2}{R_1}$, guadagno della configurazione invertente. Al crescere della frequenza si nota invece un comportamento di tipo passa-basso con frequenza di taglio e -3dB determinate dal polo $s = -\frac{1}{R_2C}$

$$f_b = \frac{1}{2\pi R_2 C}$$

Per rilevare sperimentalmente il diagramma di Bode del circuito, si può utilizzare la seguente configurazione sperimentale:



$$f_t = \frac{1}{2\pi R_2 C} = \frac{1}{6.28 \cdot 2.2 \cdot 10^3 \cdot 10^{-8}} = 27,238 \cdot 10^3 \text{ Hz} = 27,238 \text{ KHz}$$

(a -3dB)

Quindi per limiti a bassa frequenza $(f \rightarrow 0) = -\frac{R_2}{R_1} = -2,2$

in dB: $R_{dB} = 20 \log_{10} \frac{R_2}{R_1} = 20 \log_{10} 2,2 = 6,9 \text{ dB}$

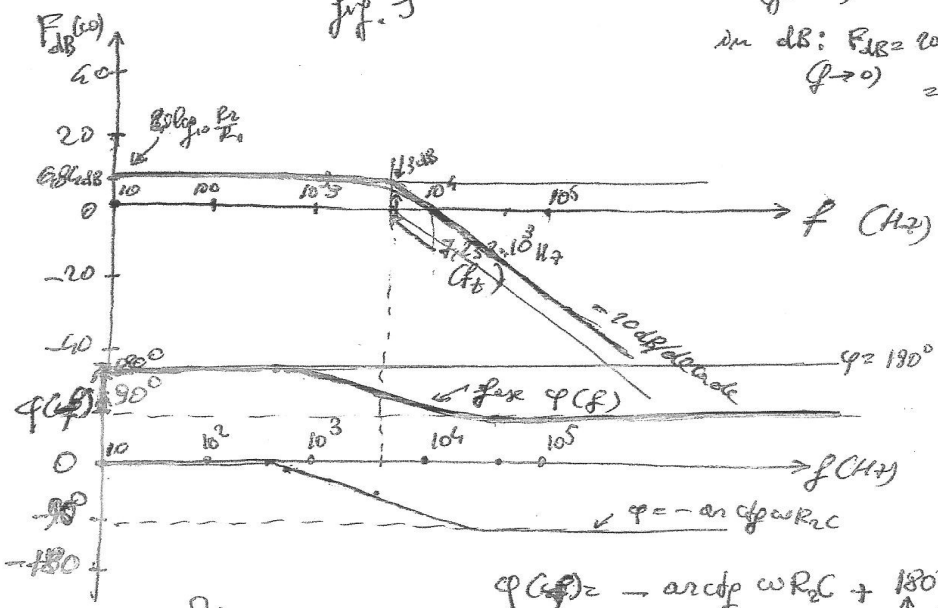


Fig. 10

$$\varphi(f) = -\arctan(\omega R_2 C) + 180^\circ$$

↑ dovuto all'inversione di fase

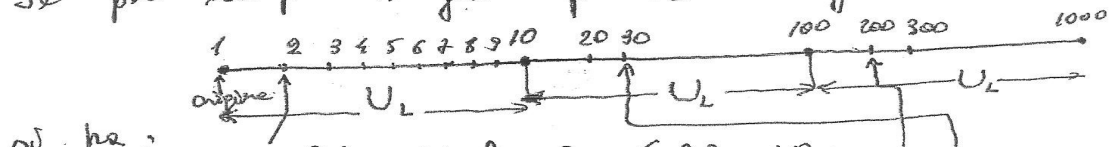
$$\varphi(f \rightarrow 0) = 180^\circ$$

$$\varphi(f \rightarrow f_t) = -90^\circ + 180^\circ = 90^\circ$$

$$f \gg \frac{1}{2\pi R_2 C}$$

Per tracciare un sistema di ascisse logaritmiche, basta ~~il~~ fissare la lunghezza del segmento U_L corrispondente all'unità logaritmica (distanza tra potenze consecutive di 10) ed utilizzare la relazione $X(n) = U_L \log_{10} n$ per ottenere la distanza (dall'origine) del punto $X(n)$ corrispondente al numero n (1, 2, 4, 5, 6, 7 ... 10, 20, 30 ... 100, 200 ... ecc.)

Se per esempio si fissa per U_L un segmento di 6 cm,



si ha:

$$X(2) = U_L \log_{10} 2 = 6 \cdot 0,3 = 1,8 \text{ cm}$$

$$X(200) = U_L \log_{10} 200 = 6 \cdot 2,301 = 13,8 \text{ cm}$$

$$X(30) = U_L \log_{10} 30 = 6 \cdot 1,477 = 8,862 \text{ cm}$$

Tabella dei dati sperimentali relativi al modulo di $F(j\omega)$

Attenzione: V_{ipp} si mantiene fino al valore di f .

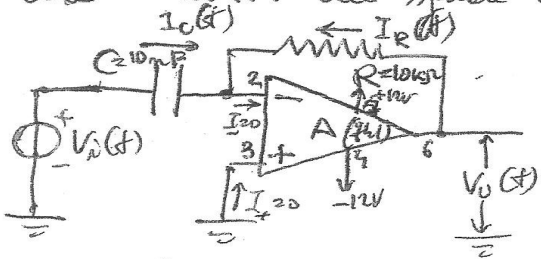
La frequenza f non deve superare i 10 kHz, corrispondenti alla frequenza di risposta e potenza dell'A.O. $\mu A741$.

f (Hz)	V_{ipp} (V)	$\frac{V_{ipp}}{V_{ipp}}$	$P_{dB}(f) = 20 \log_{10} \frac{V_{ipp}}{V_{ipp}}$ (dB)
100			
300			
10^3			
$5 \cdot 10^3$			
$8 \cdot 10^3$			

Con i punti determinati sperimentalmente si possono tracciare i due rami del diagramma di Bode asintotico, per ricavare il valore della frequenza di taglio f_c e -3 dB.
 $f_c = \frac{1}{2\pi RC}$

Derivatore invertente ideale

Il circuito di fig. 11 rappresenta un derivatore invertente ideale, che fornisce all'uscita un segnale $V_o(t)$ proporzionale alla derivata del segnale d'ingresso, cambiata di segno.



Supponendo che l'amplificatore operazionale A sia ideale ($A_d = \infty, I_+ = I_- = 0, Z_i = \infty, Z_o = 0$) si deduce la presenza della morsa virtuale all'ingresso

invertente; $A_d = \frac{V_o}{V_+ - V_-}$ ($A_d = \infty$) $\rightarrow V_+ = V_- = 0$

Tenendo presente la definizione di intensità di corrente si ottiene il valore della corrente $I_c(t) = \frac{dq(t)}{dt} = C \frac{dV_i(t)}{dt}$

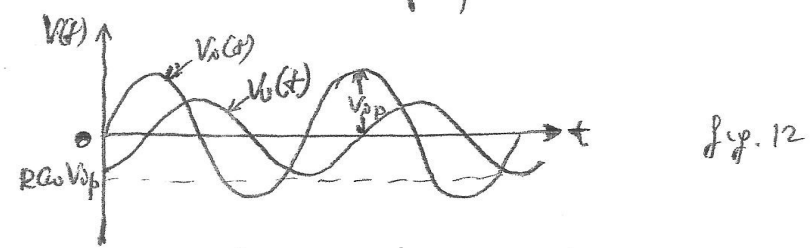
Partendo anziché dall'equazione $I_R(t) = -I_c(t)$, la tensione d'uscita $V_o(t) = R I_R(t) = -R I_c(t) = -RC \frac{dV_i(t)}{dt}$.

Risposta del circuito derivatore invertente (ideale) alle principali eccitazioni - studio nel dominio del tempo

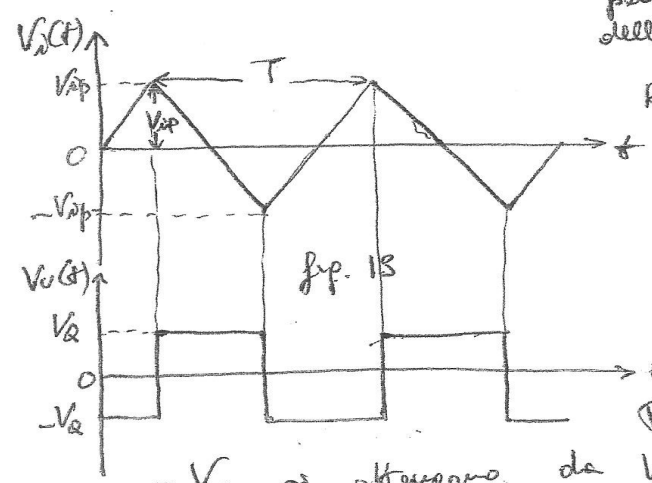
1) Risposta all'onda sinusoidale $V_i(t) = V_{ip} \sin \omega t$
 $V_o(t) = -RC \frac{dV_i(t)}{dt} = -RC \omega V_{ip} \cos \omega t$,

si ottiene una cosinusoidale cambiata di segno, con valore di picco $RC \omega V_{ip} = 2\pi f RC V_{ip}$ proporzionale alla frequenza; pertanto si deduce che la risposta

del circuito tende a diventare sempre più grande al crescere della frequenza.



a) Risposta all'onda triangolare
 o all'onda un'onda quadra.
 Consideriamo un'onda triangolare $V_i(t)$ di ampiezza V_{ip} e frequenza $f = \frac{1}{T}$. Ricaviamo anzitutto le pendenze di ciascuna rampa dell'onda triangolare:



Rampa con pendenza positiva:

$$V_i(t) = \left(\frac{2 V_{ip}}{\frac{T}{2}} \right) t = \frac{4 V_{ip}}{T} t$$
 ← pendenza.

Rampa con pendenza negativa:

$$V_i(t) = V_{ip} \left(- \frac{4 V_{ip}}{T} t \right)$$
 ← pendenza.

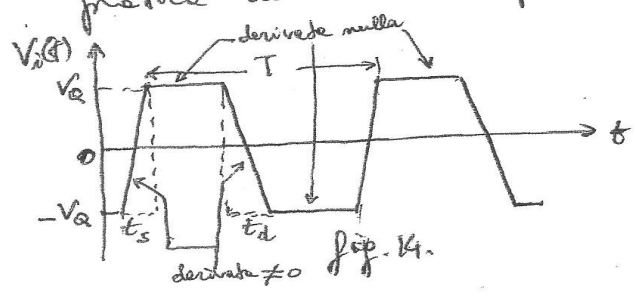
Portanto le tensioni V_Q e $-V_Q$ si ottengono da $V_i(t)$ derivando e cambiando di segno:
 nel tratto a pendenza negativa $\Rightarrow RC \frac{4 V_{ip}}{T}$

$$-V_Q = -RC \frac{dV_i(t)}{dt} = -RC \frac{d}{dt} \left(V_{ip} - \frac{4 V_{ip}}{T} t \right) = -RC \cdot \frac{4 V_{ip}}{T}$$

 nel tratto a pendenza positiva

3) Risposta all'onda quadra.

Consideriamo anzitutto da tutte le onde quadre reali hanno tempi di salita e di discesa (tempi di commutazione) diversi da zero, anche se molto piccoli rispetto al periodo, pertanto si tratta in pratica di onde trapezoidali (fig. 14)

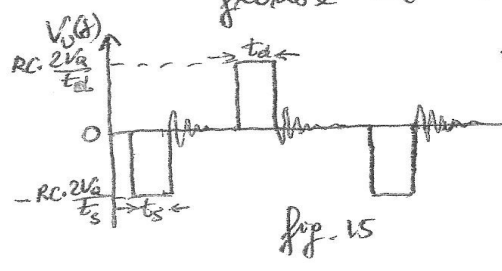


Se si applica un'onda trapezoidale (onda quadra reale) al circuito derivatore in serie, si ottengono degli impulsi rettangolari la cui ampiezza dipende dalla derivata di $V_i(t)$ durante i fronti di salita e di discesa.

In particolare, tenendo conto del valore della pendenza, si ha:

fronte di salita: $\text{pendenza} = \frac{V_Q - (-V_Q)}{t_s} = \frac{2V_Q}{t_s}$
(valore della derivata)

fronte di discesa: $\text{pendenza} = \frac{-2V_Q}{t_d}$
(valore della derivata)



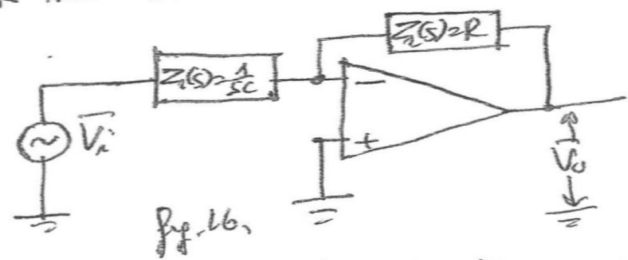
fronte di salita: $V_o(t) = -RC \frac{dV_i(t)}{dt} = -RC \frac{2V_Q}{t_s}$

fronte di discesa: $V_o(t) = -RC \frac{dV_i(t)}{dt} = RC \frac{2V_Q}{t_d}$

Le oscillazioni smorzate sovrapposte al segnale derivate sono dovute al fatto che il derivatore tende a diventare instabile al variare della frequenza, pertanto gli impulsi indovinati dovuti al rumore elettrico presente in tutti i circuiti vengono amplificati producendo fenomeni di instabilità tanto

più evidenti quanto più rapide sono le commutazioni
 del segnale di eccitazione $V_i(t)$. Le oscillazioni superate si
 possono attenuare collegando in serie con C un resistore da 1 kΩ (costante di
 smorzamento)
 Funzione di trasferimento del derivatore
 ideale.

In fig. 16 il derivatore viene schematizzato come
 un particolare amplificatore invertente avente la reattanza
 $Z_1(s) = \frac{1}{sC}$ come impedenza d'ingresso e la resistenza
 R nel circuito di reazione ($Z_2(s) = R$).



$$F(s) = \frac{V_o}{V_i} = - \frac{Z_2(s)}{Z_1(s)} = - \frac{R}{\frac{1}{sC}} = -RCs = -RCj\omega$$

Si nota subito che il modulo $RC\omega$ della
 funzione di trasferimento è proporzionale ad ω
 e che pertanto il circuito derivatore ideale
 tende a diventare instabile al crescere della
 frequenza. $\lim_{\omega \rightarrow \infty} |F(j\omega)| = \infty$.

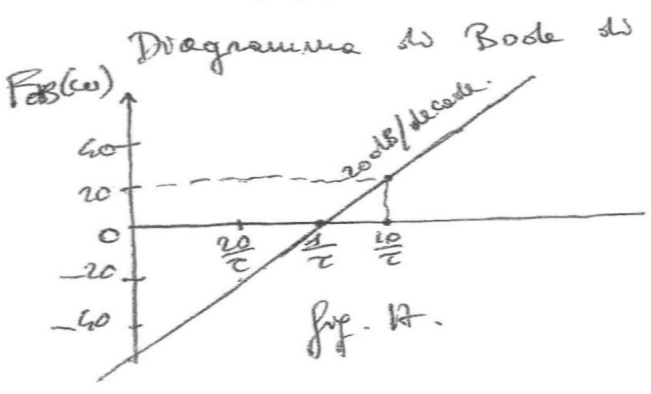


Diagramma di Bode di $|F(j\omega)|$ in dB

$$F_{dB}(\omega) = 20 \log_{10} RC\omega$$

Per $\omega = \frac{1}{RC} = \frac{1}{T}$

$$F_{dB} = 20 \log_{10} 1 = 0 \text{ dB}$$

Per $\omega = \frac{10}{T}$

$$F_{dB} = 20 \log_{10} 10 = 20 \text{ dB}$$

Derivatore invertente reale (con perdite)

Per ovviare agli inconvenienti derivanti dall'instabilità del circuito derivatore ideale al variare della frequenza, si utilizza in pratica il circuito di fig. 18, che sfrutta l'effetto limitatore di corrente della resistenza serie R_1 per stabilizzare il guadagno del circuito alle alte frequenze.

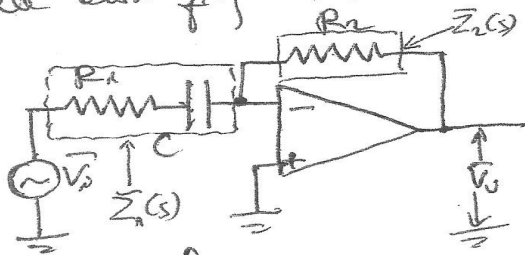


fig. 18

Infatti, al variare delle frequenze, la reattanza $X_C = \frac{1}{\omega C}$ del condensatore diventa sempre più piccola, finché il condensatore si comporta come un cortocircuito a frequenze elevate.

D'altra parte la resistenza serie R_1 si oppone ad ulteriori aumenti della corrente, facendo in modo che il valore limite del guadagno del circuito, alle alte frequenze, coincida con quello di un amplificatore invertente $(-\frac{R_2}{R_1})$. Considerando il circuito come un particolare amplificatore invertente con l'impedenza d'ingresso $Z_1(s) = R_1 + \frac{1}{sC}$ e l'impedenza di reazione $Z_2(s) = R_2$, si ottiene la funzione di trasferimento del circuito, che è del tipo passa-alto di I ordine.

$$\begin{aligned}
 F(s) &= -\frac{Z_2(s)}{Z_1(s)} = -\frac{R_2}{R_1 + \frac{1}{sC}} = -\frac{R_2}{\frac{R_1Cs + 1}{sC}} = -\frac{R_2Cs}{1 + R_1Cs} \\
 &= -\frac{R_2}{R_1} \frac{Cs}{\left(\frac{1}{R_1} + Cs\right)} = -\frac{R_2}{R_1} \frac{Cs}{\frac{1 + R_1Cs}{R_1}} = -\frac{R_2}{R_1} \frac{R_1Cs}{1 + R_1Cs}
 \end{aligned}$$

Si nota che per $f \rightarrow \infty$ ($s \rightarrow \infty$) il modulo di $F(s)$ tende al limite $-\frac{R_2}{R_1}$ (moltiplicatore costante)

La funzione di trasferimento ottenuta ha uno zero ($s=0$) ed una polo $s = -\frac{1}{R_1 C}$; pertanto il circuito derivatore reale assai forte nel dominio della frequenza un comportamento di tipo passa-alto di I ordine.

Diagrammi di Bode del circuito derivatore ~~ideale~~ ^{iniziale} reale. (frequenza di taglio $\omega = \frac{1}{2\pi R_1 C}$)

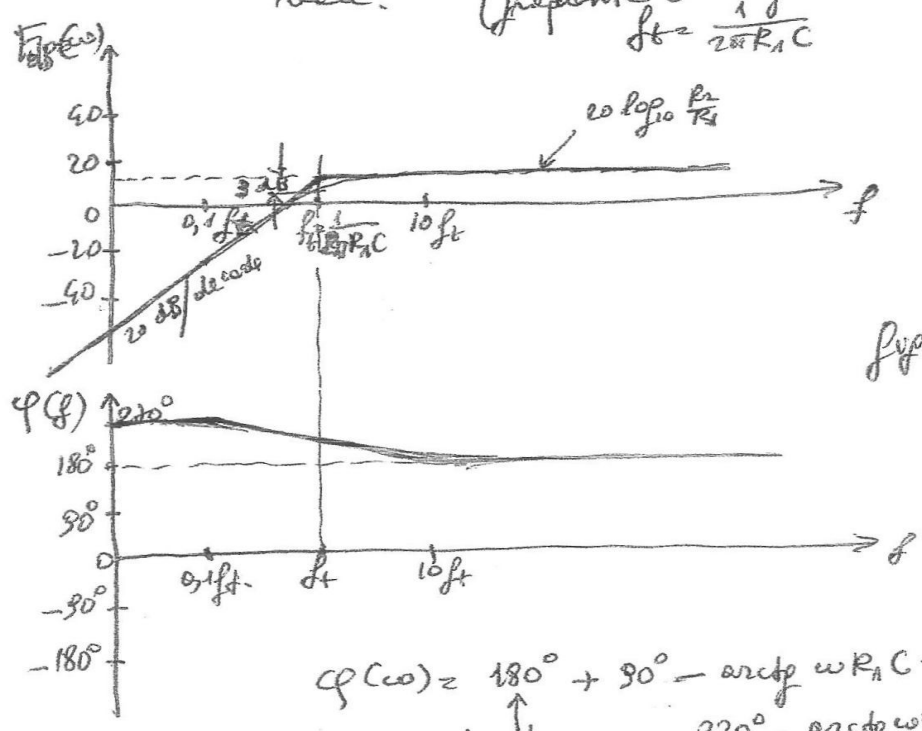
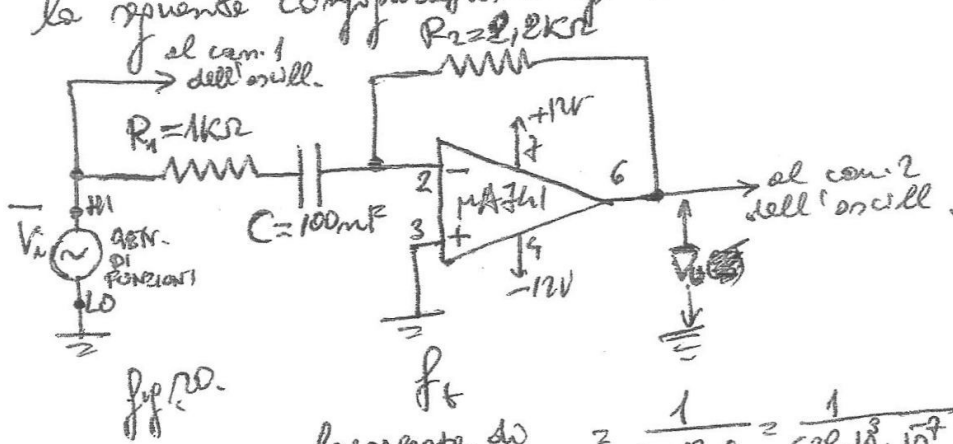


Fig. 18.

$$\begin{aligned} \varphi(\omega) &= 180^\circ + 90^\circ - \arctan \omega R_1 C = \\ &= 270^\circ - \arctan \omega R_1 C \\ \lim_{\omega \rightarrow 0} \varphi(\omega) &= 270^\circ \\ \lim_{\omega \rightarrow \infty} \varphi(\omega) &= 270^\circ - 90^\circ = 180^\circ \end{aligned}$$

↑ dovuto all'inversione di fase

Per rilevare sperimentalmente il diagramma di Bode del modulo di $F(j\omega)$, si può utilizzare la seguente configurazione sperimentale:



frequenza di taglio a -3 dB $= \frac{1}{2\pi R_1 C} = \frac{1}{6,28 \cdot 10^3 \cdot 10^{-7}} = 1,59 \cdot 10^3 \text{ Hz} = 1,59 \text{ kHz}$

guadagno limite a alte frequenze: $-\frac{R_2}{R_1} = -2,2$

in dB: $F_{dB} = 20 \log_{10} \frac{R_2}{R_1} = 20 \log_{10} 2,2 = 6,84 \text{ dB}$

Tabella dei dati sperimentali:

f (Hz)	V_{pp} (V)	$\frac{V_{pp}}{V_{pp}}$	$F_{dB}(f) = 20 \log_{10} \frac{V_{pp}}{V_{pp}}$ (dB)
100			
500			
10^3			
$5 \cdot 10^3$			
$8 \cdot 10^3$			

V_{pp} si mantiene fisso

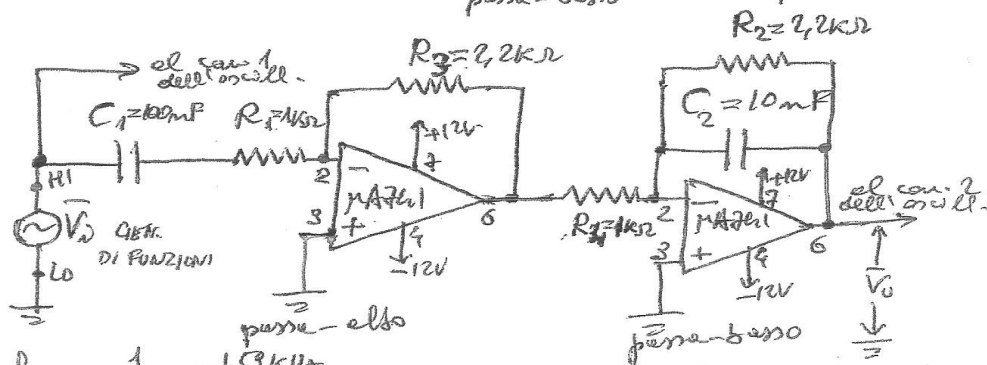
Con i punti determinati sperimentalmente si può tracciare il diagramma di Bode del modulo di $F(j\omega)$ e

determinare il valore della frequenza di taglio a -3 dB

Utilizzazione dei circuiti integratore e derivatore reali per la realizzazione di un filtro attivo (con amplificazione) di tipo passa-banda.

Collegando in cascata i circuiti integratore e derivatore reali, si ottiene un filtro di tipo passa-banda, la cui funzione di trasferimento è data dal prodotto delle singole funzioni di trasferimento (fig. 21)

$$F(s) = F(j\omega) = \frac{V_{out}}{V_{in}} = \underbrace{\left(-\frac{R_2}{R_1}\right)}_{\text{passa-basso}} \cdot \frac{1}{1 + R_2 C_2 s} \cdot \underbrace{\left(-\frac{R_3}{R_4}\right)}_{\text{passa-alto}} = \frac{R_1 C_1 s}{1 + R_2 C_2 s}$$



$$f_{\text{inf}} = \frac{1}{2\pi R_1 C_1} = 1,59 \text{ kHz}$$

passa-alto

$$f_{\text{sup}} = \frac{1}{2\pi R_2 C_2} = 7,238 \text{ kHz}$$

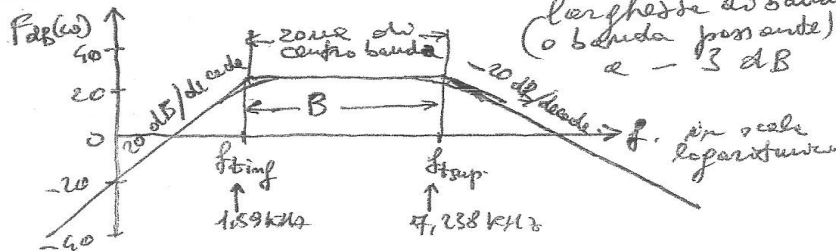
passa-basso

fig. 21

Vengono attenuate tutte le frequenze esterne all'intervallo delle frequenze di taglio

$$B = f_{\text{sup}} - f_{\text{inf}}$$

larghezza di banda (o banda passante) e -3 dB



L'andamento della fase $\varphi(f)$ in funzione delle frequenze si ottiene considerando che nelle regioni di centro banda (tra f_{inf} e f_{sup}) le inversioni di fase prodotte singolarmente da ogni circuito si elidono e pertanto il segnale d'uscita è in fase con quello d'ingresso. Per $f < f_{inf}$ si ha un anticipo di fase tendente a 90° alle basse frequenze, mentre per $f > f_{sup}$ si ha un ritardo di fase tendente a -90° alle alte frequenze.

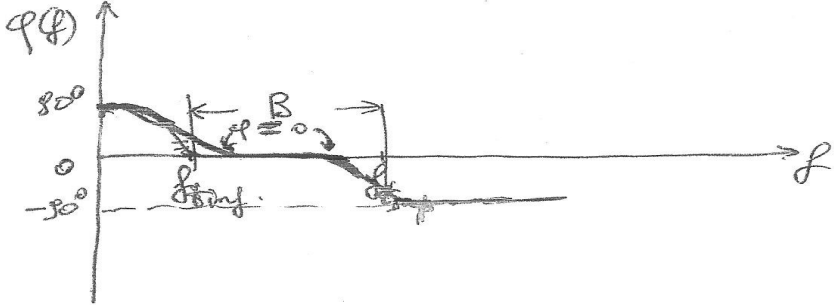


Tabella dei dati sperimentali per il modulo di $F(j\omega)$

$V_{pp} = \text{costante}$
al variare di f

f (Hz)	V_{pp}	$\frac{V_{pp}}{V_{pp}}$	$\angle \text{de}(s) = \angle \text{de}(j\omega)$	$\frac{V_{pp}}{V_{pp}}$
100				
200				
500				
10^3				
$5 \cdot 10^3$				
$8 \cdot 10^3$				

